

소결온도에 따른 $\text{Ba}_5\text{B}_4\text{O}_{15}$ ($\text{B}=\text{Ta}, \text{Nb}$) 세라믹스의 구조 및 마이크로파 유전특성

이승준*, 이성갑**, 배선기***, 이영희*
 *광운대학교, **경상대학교, ***인천대학교

Structural and Microwave Dielectric Properties of the $\text{Ba}_5\text{B}_4\text{O}_{15}$ ($\text{B}=\text{Ta}, \text{Nb}$) Ceramics with Sintering Temperature

Sung-Jun Lee*, Sung-Gap Lee**, Seon-Gi Bae***, Young-Hie Lee*
 *Kwangwoon University, **Gyeongsang national University, ***University of Incheon

Abstract - In this study, structural and microwave dielectric properties of the $\text{Ba}_5\text{B}_4\text{O}_{15}$ ($\text{B}=\text{Ta}, \text{Nb}$) cation-deficient perovskite ceramics with sintering temperature were investigated. All sample of the $\text{Ba}_5\text{B}_4\text{O}_{15}$ ($\text{B}=\text{Ta}, \text{Nb}$) ceramics prepared by conventional mixed oxide method and sintered at 1325°C ~ 1575°C. The bulk density and dielectric constant of the $\text{Ba}_5\text{Ta}_4\text{O}_{15}$ ceramics were increased continuously with increasing of sintering temperature. And the bulk density and dielectric constant of the $\text{Ba}_5\text{Nb}_4\text{O}_{15}$ ceramics was increased in 1375°C ~ 1400°C but decreased in 1425°C. In the case of $\text{Ba}_5\text{Ta}_4\text{O}_{15}$ ceramics sintered at 1475°C and $\text{Ba}_5\text{Nb}_4\text{O}_{15}$ ceramics sintered at 1400°C, The dielectric constant and quality factor, and temperature coefficient of the resonant frequency (TCRF) were 25.15, 53.105 GHz, -3.06 ppm/°C and, 39.55, 28,052 GHz, 5.7 ppm/°C, respectively.

1. 서 론

최근 정보통신의 발달함에 따라 마이크로파 구성요소로 응용되는 유전체 세라믹스 소자에 대한 관심이 증대되어 마이크로파 유전체 세라믹스에 대한 연구가 활발히 진행되고 있다.[1] 이들 유전체 세라믹스 소자는 그 사용 용도상 소자의 소형화, 우수한 주파수 선택성, 온도에 안정한 소자 구현 등을 위하여 큰 유전상수 (ϵ_r), 높은 품질계수($Q \times f_r$), "0"에 가까운 공진주파수의 온도계수(TCRF, τ_t)의 마이크로파 유전특성을 갖추어야 한다. 유전체 세라믹스 소자의 크기는 $\lambda \cdot k^{-1/2}$ (λ : wavelength, k : dielectric constant)에 비례하기 때문에 소자의 크기를 줄이기 위하여 1990년도 초에는 $\text{BaO}-\text{Re}_2\text{O}_3$ 과 $(\text{Pb}_{1-x}\text{Ca}_x)\text{ZrO}_3$ 와 같은 높은 유전율(약 100)을 가지는 물질에 대한 연구가 활발히 진행되었다. 그러나 최근에는 이동 통신기기 사용의 급격한 증가에 의해 많은 사용자를 수용하기 위해 사용주파수가 고주파 대역으로의 이동하게 되었다. 또는 주파수 이하에서는 ($f \leq 100$ GHz) 내부 유전 손실이 주파수에 비례하여 커지기 때문에 마이크로파 대역에서는 높은 유전상수보다 높은 품질계수(quality factor, $Q \equiv \tan \delta^{-1}$) 특성을 중요시 여기게 되었다.[2] 따라서 고주파 대역에서 우수한 품질계수를 가지는 재료에 대한 연구가 요구되었고, 높은 품질계수의 특성을 가지는 물질로 MgTiO_3 , SrTiO_3 와 같은 복합 페로브스카이트 구조를 가지는 재료에 대한 연구가 진행되었다. 최근에는 복합 페로브스카이트 구조에서 약간 변형된 Cation deficient 페로브스카이트 구조가 많은 주목을 받고 있다. 이 구조는 $\text{A}_5\text{B}_4\text{O}_{15}$ 의 화학식을 가지고 있어 페로브스카이트구조인 ABO_3 화학식으로 줄여 쓰면 $\text{AB}_{0.8}\text{O}_3$, 즉 음이온 B의 자리가 부족한 형태가 되어서 Cation deficient 페로브스카이트 구조라 불린다.[3]

본 논문에서는 높은 품질계수를 가지는 재료 개발을 위하여 Cation deficient 페로브스카이트 구조를 가지는 물질 중에서 $\text{Ba}_5\text{Ta}_4\text{O}_{15}$ 세라믹스와 $\text{Ba}_5\text{Nb}_4\text{O}_{15}$ 세라믹스의 소결특성을 고찰하고 소결온도에 따른 구조 및 마이크로파 유전 특성을 조사하였다.

2. 본 헌

2.1 시편의 제조

본 연구에서는 일반적인 산화물 혼합법으로 $\text{Ba}_5\text{Ta}_4\text{O}_{15}$ 세라믹스를 제조하였다. 출발물질로는 BaCO_3 , Ta_2O_5 , Nb_2O_5 (high-purity, 99.9%)를 사용하였다. BaCO_3 , Ta_2O_5 , Nb_2O_5 를 $\text{Ba}_5\text{Ta}_4\text{O}_{15}$, $\text{Ba}_5\text{Nb}_4\text{O}_{15}$ 화학식량에 맞게 평양한 후 알코올을 분산매로 사용하여 지르코니아볼로 24시간동안 혼합 분쇄하였다. 혼합 분쇄한 분말을 100°C 전기오븐에서 24시간동안 건조한 후 알루미나 도가니에 넣어 1200°C ~ 1325°C의 온도범위에서 3시간 동안 하소하였다. 하소한 분말을 알코올을 분산매로 사용하여 지르코니아볼로 12시간동안 재 혼합 분쇄하였으며, 24시간동안 건조 후 #100 mesh로 채치기하였다. 분말을 원통형 금형($\Phi=10\text{mm}$)에 넣고 1ton/cm²의 압력을 가하여 성형하였다. 성형한 시편을 전기로에 넣고 1450°C ~ 1575°C의 온도범위에서 5시간동안 소결하였다. 하소 및 소결시 전기로의 온도 상승률은 5°C/min.으로 하였다.

2.2. 측정

소결온도에 따른 결정구조의 변화 및 고용체 형성과정을 고찰하고자 X-선

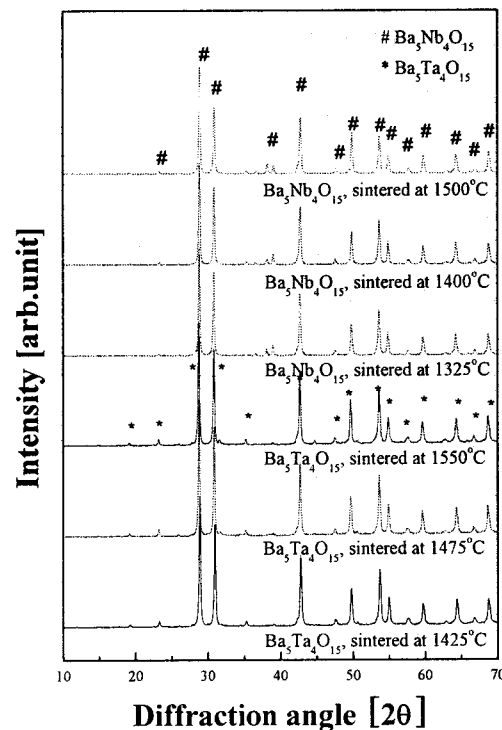
회절분석을 하였다. X-선은 $\text{CuK}\alpha$ ($\lambda=1.542\text{\AA}$)을 사용하였으며, 스텝 폭과 주사속도는 각각 0.05deg., 5deg./min.로 하였다. 시편의 소결상태를 알아보기 위해 Archimedes method를 이용하여 밀도를 측정하였다.

마이크로파 유전특성은 양면을 거울면 연마한 실린더형 시편들에 대해 Hakki-Coleman에 의해 제시되고 Kobayashi 등이 보정한 평판형 공진기법(parallel plate method)으로 HP8757D Vector Analyzer를 이용하여 유전상수(ϵ_r)와 무부하 Q값을 측정하였고,[4] 투파모드의 공동 공진기법(cavity resonant method)으로 공진주파수의 온도계수를 측정하였다. 공진주파수의 온도계수는 25°C와 85°C에서 측정된 공진주파수를 다음의 식에 넣어서 계산하였다

$$\text{TCRF} = \left(\frac{1}{f_{25}} \right) \cdot \left(\frac{f_{85} - f_{25}}{60} \right) \cdot 10^6 (\text{ppm}/\text{°C})$$

3. 결과 및 고찰

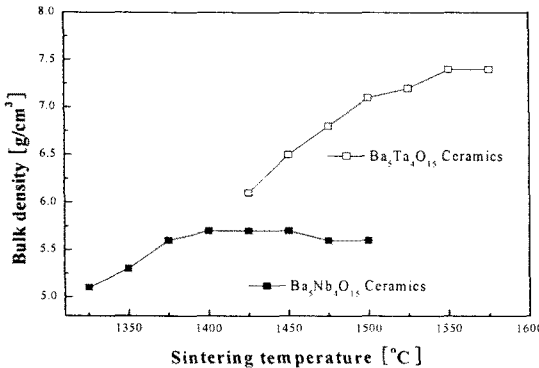
그림 1은 1300°C에서 3시간동안 하소한 $\text{Ba}_5\text{B}_4\text{O}_{15}$ ($\text{B}=\text{Ta}, \text{Nb}$) 세라믹스의 소결온도에 따른 X-선 회절 패턴을 나타내었다. 모든 소결 온도에서 $\text{Ba}_5\text{Ta}_4\text{O}_{15}$ 세라믹스의 경우 $\text{Ba}_5\text{Ta}_4\text{O}_{15}$ 상이 주상으로 나타났고 $\text{Ba}_5\text{Nb}_4\text{O}_{15}$ 세라믹스의 경우 $\text{Ba}_5\text{Nb}_4\text{O}_{15}$ 상이 주상으로 나타났다. 소결 온도 증가에 따라 각각의 $\text{Ba}_5\text{Ta}_4\text{O}_{15}$ 상과 $\text{Ba}_5\text{Nb}_4\text{O}_{15}$ 상의 회절 강도가 증가하였고 새로운 상의 형성은 발생하지 않았다.



〈그림 1〉 $\text{Ba}_5\text{B}_4\text{O}_{15}$ ($\text{B}=\text{Ta}, \text{Nb}$) 세라믹스의 X-선 회절 패턴.

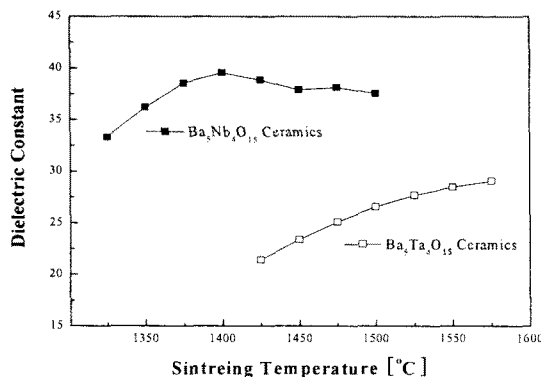
그림 2는 소결온도에 따른 $\text{Ba}_5\text{B}_4\text{O}_{15}$ ($\text{B}=\text{Ta}, \text{Nb}$) 세라믹스의 밀도를 나타낸다. B-site의 Ta와 Nb는 2.09A, 2.08A의 거의 동일한 이온반경을 가지고 있지만 180.948, 92.906이라는 원자량을 가진다. 이 원자량의 차이에 의해 동일한 구조를 가지는 $\text{Ba}_5\text{Nb}_4\text{O}_{15}$ 세라믹스와 $\text{Ba}_5\text{Ta}_4\text{O}_{15}$ 세라믹스의 밀도가 그림 2와 같은 차이를 나타낸 것으로 생각된다. 소결온도가 증가함

에 따라 $\text{Ba}_5\text{B}_4\text{O}_{15}$ ($\text{B}=\text{Ta}, \text{Nb}$) 세라믹스의 밀도가 증가하였다. 이것은 소결 온도가 증가함에 따른 기공의 감소로 인하여 $\text{Ba}_5\text{B}_4\text{O}_{15}$ ($\text{B}=\text{Ta}, \text{Nb}$) 세라믹스의 치밀화가 증가되어 밀도가 증가하는 것으로 생각된다. 기공은 낮은 비유전율을 가지기 때문에 기공의 감소는 유전상수의 증가를 가져올 것으로 생각된다.



〈그림 2〉 소결온도에 따른 $\text{Ba}_5\text{B}_4\text{O}_{15}$ ($\text{B}=\text{Ta}, \text{Nb}$) 세라믹스의 소결 밀도.

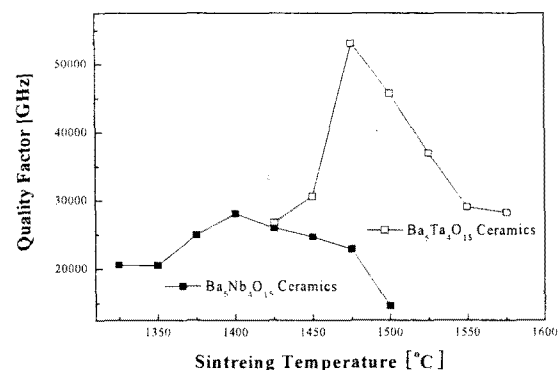
소결온도에 따른 $\text{Ba}_5\text{B}_4\text{O}_{15}$ ($\text{B}=\text{Ta}, \text{Nb}$) 세라믹스의 유전율을 그림 3에 나타내었다. $\text{Ba}_5\text{Nb}_4\text{O}_{15}$ 세라믹스의 유전상수가 $\text{Ba}_5\text{Ta}_4\text{O}_{15}$ 세라믹스의 유전상수보다 높은 값을 나타내었다. 이것은 동일한 구조에서 Nb에 비해 더 큰 이온분극을 가지는 Ta가 포함된 $\text{Ba}_5\text{Ta}_4\text{O}_{15}$ 세라믹스가 더 높은 유전상수를 가질 것이라는 예상과 반대의 결과이다. N.E. Massa 등의 연구에서 $\text{Ba}_5\text{Nb}_4\text{O}_{15}$ 세라믹스의 격자는 대칭성이 낮은 구조를 가지고 있어 격자의 불안정성을 초래한다.[5] $\text{Ba}_5\text{Ta}_4\text{O}_{15}$ 세라믹스의 격자는 상대적으로 안정적인 구조를 가지기 때문에 $\text{Ba}_5\text{Nb}_4\text{O}_{15}$ 세라믹스의 유전상수가 $\text{Ba}_5\text{Ta}_4\text{O}_{15}$ 세라믹스의 유전상수보다 높은 값을 나타내었다고 생각된다. $\text{Ba}_5\text{Ta}_4\text{O}_{15}$ 세라믹스의 경우 소결 온도가 증가함에 따라 유전율이 증가하였다. 1550°C까지의 유전율의 증가는 그림 2에서 알 수 있듯이 소결온도가 증가함에 따라 치밀화가 증진되어 기공이 감소하였기 때문에 생각된다. $\text{Ba}_5\text{Nb}_4\text{O}_{15}$ 세라믹스의 경우 소결 온도가 증가함에 따라 유전율이 증가하였고 1400°C 이후의 소결온도에서 감소하였다. 1400°C의 소결 온도에서의 유전율의 감소는 과잉 소결에 의한 과잉성장 때문에 기공 형성이 형성되나 이런 결과를 나타낸 것으로 생각된다.



〈그림 3〉 소결온도에 따른 $\text{Ba}_5\text{B}_4\text{O}_{15}$ ($\text{B}=\text{Ta}, \text{Nb}$) 세라믹스의 유전 상수.

그림 4는 소결온도에 따른 $\text{Ba}_5\text{B}_4\text{O}_{15}$ ($\text{B}=\text{Ta}, \text{Nb}$) 세라믹스의 품질계수를 나타내었다. 품질계수는 구조적 결합과 기공, 2차상 등의 미세구조 결합에 의해 결정된다.[6] N.E. Massa 등의 연구에서 $\text{Ba}_5\text{Nb}_4\text{O}_{15}$ 세라믹스의 격자는 대칭성이 낮은 구조를 가지고 있어 격자의 불안정성을 초래한다.[5] $\text{Ba}_5\text{Ta}_4\text{O}_{15}$ 세라믹스의 격자는 상대적으로 안정적인 구조를 가지기 때문에 $\text{Ba}_5\text{Ta}_4\text{O}_{15}$ 세라믹스의 품질계수가 $\text{Ba}_5\text{Nb}_4\text{O}_{15}$ 세라믹스의 품질계수보다 높은 값을 나타내었다고 생각된다. $\text{Ba}_5\text{Nb}_4\text{O}_{15}$ 세라믹스의 경우 1400°C까지의 소결온도에서는 품질계수가 증가하다가 그이상의 소결온도에서는 감소하였다. 소결온도가 증가함에 따라 기공의 감소로 인하여 품질계수가 증가하는 것으로 생각된다. 하지만 1425°C 이상의 소결온도에서는 높은 소결온도로 결정됨이 과잉 성장하여 미세구조 결합이 증가했기 때문에 품질계수가 감소하였다고 생각된다. $\text{Ba}_5\text{Ta}_4\text{O}_{15}$ 세라믹스의 경우 1475°C까지 품질계수가 증가하다가 그 이상의 온도에서는 감소하였다. 이 결과는 그림 1과 2의 분석결과 $\text{Ba}_5\text{Ta}_4\text{O}_{15}$ 단일상의 형성 및 밀도 증가에 따라 예상된 품질계수의 증가와 다른 경과이다. 이 현상에 대한 고찰은 차후 SEM 및 Ba-Ta 이온 사이의 상호 작용에 대한 분석을 함으로서 규명 지을 수 있을 것으로 생각된다.

것으로 생각된다.



〈그림 4〉 소결온도에 따른 $\text{Ba}_5\text{B}_4\text{O}_{15}$ ($\text{B}=\text{Ta}, \text{Nb}$) 세라믹스의 품질계수.

표 1에 1450°C에서 5시간동안 소결한 $\text{Ba}_5\text{B}_4\text{O}_{15}$ ($\text{B}=\text{Ta}, \text{Nb}$) 세라믹스의 마이크로파 유전 특성을 나타내었다. $\text{Ba}_5\text{Ta}_4\text{O}_{15}$ 세라믹스와 $\text{Ba}_5\text{Nb}_4\text{O}_{15}$ 세라믹스 공진주파수의 온도계수, TCRF는 각각 $-3.06 \text{ ppm}/\text{°C}$ 와 $5.7 \text{ ppm}/\text{°C}$ 를 나타내었다.

〈표 1〉 $\text{Ba}_5\text{B}_4\text{O}_{15}$ ($\text{B}=\text{Ta}, \text{Nb}$) 세라믹스의 마이크로파 유전 특성.

	f_r	$Q \times f_r$ [GHz]	τ_f [ppm/°C]
$\text{Ba}_5\text{Ta}_4\text{O}_{15}$ ceramics sintered at 1475°C	25.12	53,108	-3.06
$\text{Ba}_5\text{Nb}_4\text{O}_{15}$ ceramics sintered at 1400°C	39.55	28,052	5.7

4. 결론

$\text{Ba}_5\text{B}_4\text{O}_{15}$ ($\text{B}=\text{Ta}, \text{Nb}$) 세라믹스를 소결온도를 달리하여 제조한 후, 구조 및 마이크로파 유전 특성에 대해 고찰하였으며 다음과 같은 결과를 얻었다.

1. $\text{Ba}_5\text{B}_4\text{O}_{15}$ ($\text{B}=\text{Ta}, \text{Nb}$) 세라믹스의 X-선 회절 분석결과 모든 소결온도에서 주상으로 $\text{Ba}_5\text{B}_4\text{O}_{15}$ ($\text{B}=\text{Ta}, \text{Nb}$) 상을 나타내었고 소결온도 증가에 따라 새로운 상은 발견되지 않았다.
2. $\text{Ba}_5\text{Ta}_4\text{O}_{15}$ 세라믹스의 밀도와 유전상수는 소결온도가 증가함에 따라 증가하였다. 또한 품질계수는 소결온도의 증가에 따라 증가하다가 1475°C 이후의 소결온도에서는 감소하였다. $\text{Ba}_5\text{Nb}_4\text{O}_{15}$ 세라믹스의 밀도와 유전상수, 품질계수는 소결온도의 증가에 따라 증가하다가 1400°C 이후의 소결온도에서는 감소하였다.
3. $\text{Ba}_5\text{Ta}_4\text{O}_{15}$ 세라믹스와 $\text{Ba}_5\text{Nb}_4\text{O}_{15}$ 세라믹스의 유전상수, 품질계수, 공진주파수의 온도계수는 각각 $25.15, 53,105 \text{ GHz}, -3.06 \text{ ppm}/\text{°C}$ 그리고 $39.55, 28,052 \text{ GHz}, 5.7 \text{ ppm}/\text{°C}$ 이었다.

이상의 결과로 $\text{Ba}_5\text{Ta}_4\text{O}_{15}$ 세라믹스와 $\text{Ba}_5\text{Nb}_4\text{O}_{15}$ 세라믹스가 고주파용 마이크로 구조소자로 용융이 가능할 것으로 생각된다. 차후 $\text{Ba}_5\text{Ta}_4\text{O}_{15}$ 세라믹스의 품질계수의 현상을 규명 지을 수 있는 연구가 진행되어야 할 것으로 생각된다.

참고 문헌

- [1] D. Kolar and D. Suvorov, "High Permittivity Microwave Ceramics", Eur. J. Solid State Inorg. Chem., 32, p.751~760, 1995.
- [2] K. Wakino, D. A. Sagala and H. Tamura, Proc. 6th Int. Meet. Ferroelectricity, Kobe, Jpn. J. Appl. Phys., 24, p.1042, 1985.
- [3] R. Ratheesh, H. Sreemoolanadhan, and M. T. Sebastian, "Vibrational Analysis of $\text{Ba}_5\text{Sr}_x\text{Nb}_4\text{O}_{15}$ Microwave Dielectric Ceramic Resonators", J. Solid State Chem., 131, Issue 1, p.2~8, 1997.
- [4] B. W. Hakki et al., "A Dielectric Resonator Method of Measuring Inductive Capacities in the Millimeter Range", IRE Trans. on Microwave Theory and Techniques, Vol.MTT-24, No.10, 1960.
- [5] N.E. Massa, S. Pagola, R. Carbonio, "Far Infrared Reflectivity and Raman Spectra of $\text{Ba}_5\text{Nb}_4\text{O}_{15}$ ", Phys. Rev. B53 p.8148~8150, 1996.
- [6] W. D. Kingery, H. K. Bowen and D. R. Uhlmann, "Introduction to Ceramics", John Wiley & Sons, Second edition, p.937~945, 1976.